

ПРОГНОЗ СИЛЬНЫХ ЗЕМЛЕТРЯСЕНИЙ И ВУЛКАНИЧЕСКИХ ИЗВЕРЖЕНИЙ ДЛЯ ОТДЕЛЬНЫХ РЕГИОНОВ ТИХООКЕАНСКОГО ТЕКТОНИЧЕСКОГО ПОЯСА НА БЛИЖАЙШИЕ 20 ЛЕТ

Широков В.А., Серафимова Ю.К.

*Камчатский филиал Геофизической службы РАН, Петропавловск-Камчатский;
e-mail: shirokov@kscnet.ru; yulka@emsd.ru*

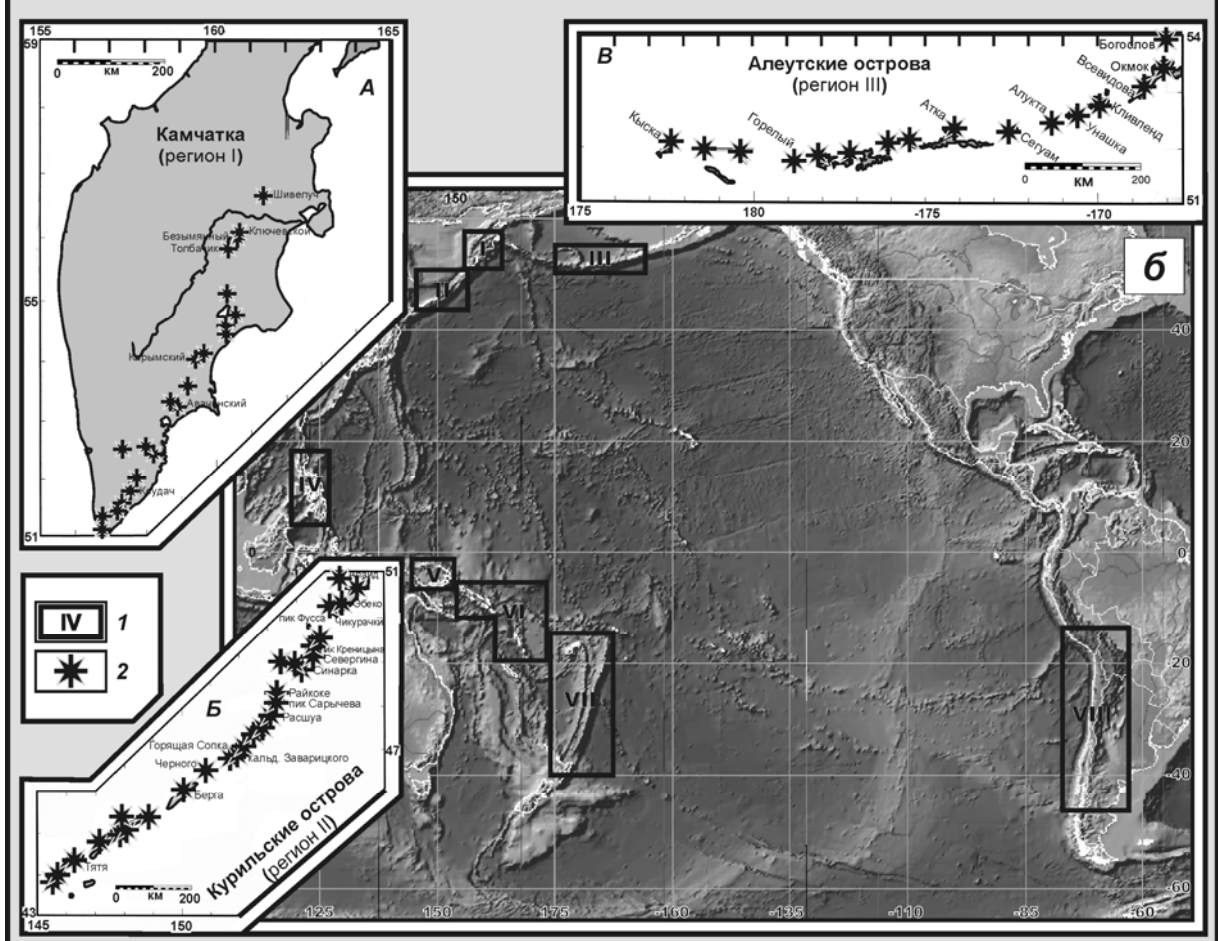
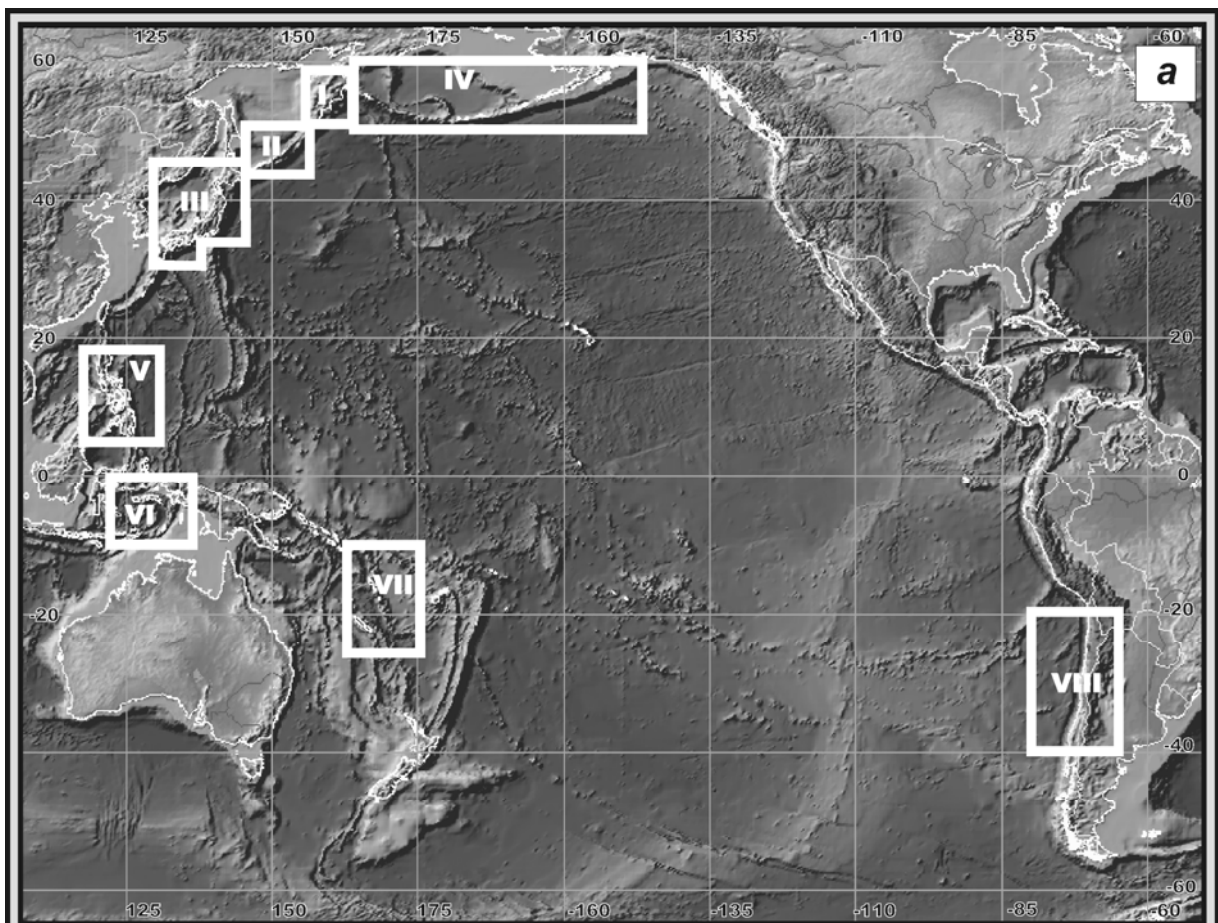
Введение

В различных природных процессах наблюдаются ритмы продолжительностью от долей суток до нескольких сотен миллионов лет. Большинство известных земных ритмов имеют космические причины и связаны с изменением взаимного положения Солнца, Луны и планет солнечной системы, с вращением Солнца, его активностью и т.д. (солнечные сутки, 27 суток, год, 11-летняя, 22-летняя и вековая цикличности солнечной активности, лунные и лунно-солнечные приливы с периодами около суток, 29.53 суток, 18.6 года и т.д.). Изучение роли ритмов в возникновении сильных землетрясений и извержений вулканов имеет важное прогностическое значение (Абдурахманов и др., 1971, 1976; Гусев, Петухин, 1997; Кропоткин, 1970; Ламакин, 1966; Серафимова, 2006; Сытинский, 1982, 1989; Широков, 1973, 1977, 2001, 2008; Широков, Серафимова, 2006, 2007; Hamilton, 1973; и др.). В большинстве работ этого направления исследуются отдельные ритмы без изучения их совместного влияния на геофизические процессы.

В работе (Широков, Серафимова, 2006) впервые исследовалось **совместное влияние 19-летнего лунного прилива и 22-летнего солнечного цикла** на возникновение сильных землетрясений. Для четырех регионов Тихоокеанского тектонического пояса выявлена статистически значимая связь землетрясений XVIII-XXI веков с указанными космическими ритмами и на ближайшие 20 лет рассчитаны «опасные» временные интервалы, в которых вероятность возникновения сильных событий на порядок выше по сравнению со средней вероятностью для всего периода наблюдений. Этот подход был реализован и для других регионов Тихоокеанского пояса (Широков, Серафимова, 2007).

Новизна настоящей работы состоит в том, что разработанный нами метод долгосрочного прогноза впервые реализован для вулканических извержений восьми регионов Тихоокеанского тектонического пояса. Необходимость проведения этого исследования связана также с тем, что при составлении долгосрочных прогнозов на ближайшие 20 лет необходимо знать время начала эпохи минимума текущего 22-летнего цикла Хейла, рассчитанное по среднемесячным значениям чисел Вольфа в годовых по длительности интервалах. Эти оценки в последние полтора года неоднократно менялись, поэтому сделанные ранее прогнозы (Широков, Серафимова, 2006, 2007) необходимо скорректировать и оценить эффективность прогнозов для каждого региона по ретроспективным данным.

Рис. 1. Схема расположения исследуемых регионов Тихоокеанского тектонического пояса:
а – регионы, для которых производились выборки землетрясений: I – Камчатка, II – Курильские острова, III – Япония, IV – Алеутские острова, V – Филиппинские острова, VI – о. Новая Гвинея, VII – о-ва Новые Гебриды, VIII – Южная Америка; *б* – регионы, для которых производились выборки вулканических извержений: *1* – контуры регионов с указанием их номеров: I – Камчатка, II – Курильские острова, III – Алеутские острова, IV – Филиппинские острова, V – о. Новая Гвинея, VI – о-ва Новые Гебриды – Соломоновы о-ва, VII – Новая Зеландия – о-ва Тонга, VIII – Южная Америка; *2* – вулканы и кальдеры; на врезках: *A* – регион I (Камчатка), *B* – регион II (Курильские острова), *C* – регион III (Алеутские острова). Использовано изображение рельефа из программы WinETDB (Expert Tsunami Data Base Pacific) лаборатории цунами Института вычислительной техники и математической геофизики СО РАН.



Исходные данные

Для землетрясений исследуемых регионов Тихоокеанского пояса (рис. 1 a), кроме Камчатки, использовались каталоги Геологической службы (ГС) США (<http://neic.usgs.gov/neis/epic/>; Широков, Серафимова, 2006, 2007). Для Камчатки использовался каталог землетрясений в шкале моментных магнитуд (Гусев, Шумилина, 2004).

Для извержений вулканов семи регионов (II–VIII, рис. 1 b) взяты данные о событиях масштаба VEI = 3 и более до 1993 года включительно по классификации (Simkin, Siebert, 1994).

Для Камчатки (рис. 1 b , врезка A) использованы оценки объемов V изверженных вулканических продуктов. Для периода со второй половины XIX в. до начала 60-х годов XX в. точность оценок массы и объема изверженных продуктов в разные годы по вполне понятным причинам была неодинакова. С начала 60-х годов прошлого века точность определений основных параметров извержений существенно возросла. В связи с этим для периода до 1960 г. данные об объемах V извержений основывались на общепринятых оценках, приведенных в работе (Гущенко, 1979), причем нижний порог для сильных извержений выбран равным 0.3 км³. Для периода 1960–2007 гг. нижний порог V выбран равным 0.10 км³ при пересчете объема вулканических продуктов на основе определений массы изверженных пород для плотности 1.2 г/см³ (Федотов, Жаринов, 2007). Максимальная длительность извержений принималась равной 12 месяцам. За период 1960–2007 гг. отмечено восемь извержений указанного масштаба при общем числе событий 15. Для извержений в качестве реперов выбирались даты главных пароксизмов.

Методика исследований

Подробное описание метода фазовых траекторий сделано в работах (Широков, Серафимова, 2006, 2007), поэтому здесь приведем только самые необходимые пояснения. Совместное изучение связи лунного прилива с периодом 18.6 г. и 22-летнего в среднем цикла Хейла солнечной активности с сильными землетрясениями или вулканическими извержениями основывается на общеизвестной процедуре наложения эпох, которая используется нами в двумерном варианте (**метод фазовых траекторий (МФТ)**). Метод МФТ для решения задач прогноза событий предложен и реализован нами впервые (Широков, Серафимова, 2006).

Метод основан на анализе распределения моментов возникновения сильных событий в двумерном фазовом квадрате (Φ_1 , Φ_2), где Φ_1 , и Φ_2 являются значениями фаз событий 19-летнего лунного и Хейловского ритмов соответственно. При неслучайном распределении событий в фазовом квадрате (Φ_1 , Φ_2) (выше некоторого порогового уровня магнитуд землетрясений или масштаба извержений) выделяются статистически значимые кластеры (так называемые «опасные» окна), в пределах которых в среднем плотность событий примерно на порядок выше, чем для всего фазового квадрата. Траекториям каждого цикла Хейла приписываются номера четных 11-летних циклов согласно общепринятой цюрихской классификации (Витинский, 1973) с добавлением английской буквы Н (Hale). Например, текущий цикл Хейла, начавшийся в декабре 2007 г., обозначается как H24. Открытый Хейлом в 1913 г. 22-летний солнечный цикл, является характеристикой магнитной активности Солнца. При переходе от одного 11-летнего цикла к другому полярность магнитных характеристик ведущих групп солнечных пятен в обоих полушариях Солнца меняет знак на противоположный (Витинский, 1973). За нулевые фазы 19-летнего прилива приняты эпохи максимального склонения Луны, а за нулевые фазы циклов Хейла взяты эпохи начала четных 11-летних циклов по данным (ftp://ftp.ngdc.noaa.gov/STP/SOLAR_DATA/SUNSPOT_NUMBERS/).

«Опасные» временные интервалы для будущих событий определяются на основе расчета времени пересечений траекторий текущего цикла Хейла с выделенными кластерами. Принято, что длительность текущего цикла H24 составит 21.3 г., т.е.

приравнивается к среднему, с начала прошлого века, значению. За последние 107 лет отклонения длительности циклов Хейла от среднего значения не превышали 3.5 %. Если эта тенденция в текущем цикле Хейла сохранится, ошибка расчета времени начала и конца «опасных» временных интервалов в первой половине текущего цикла *H24* не превысит четырех месяцев.

Полученные результаты

На основе предложенной методики сделаны прогнозы сильных землетрясений (для восьми регионов, рис. 1*a*) и вулканических извержений (для восьми регионов, рис. 1*b*) на ближайшие 20 лет (табл. 1, 2). По ретроспективным данным рассчитаны оценки эффективности *I*, по определению А.А.Гусева (Гусев, 1974), сделанных прогнозов. В нашем случае эффективность *I* определяется отношением доли событий *N₁*, попавших в выделенные «опасные» окна, относительно общего числа событий *N*, к доле площади «опасных» окон *S_{опас}* относительно общей площади фазового окна, принимаемой за единицу, т.е. $I = (N_1/N)/S_{\text{опас}}$. Поскольку для «случайного» прогнозирования эффективность в пределе равна единице, то рассчитываемая величина *I* показывает, во сколько раз предложенная методика прогноза лучше. Отметим, что величина $I > 2.0$ соответствует прогнозу с уровнем доверия 0.95 и более, $I > 3.0$ – с уровнем доверия 0.99 и более. Долгосрочные прогнозы составлены только для тех регионов, где величина $I > 2.0$.

Сделаем пояснение. В работе (Широков, Серафимова, 2006) при изучении распределения землетрясений на фазовой плоскости была выявлена статистически значимая «опасная» фаза цикла Хейла, имеющая планетарное происхождение и приуроченная к эпохам минимумов этих циклов. Она начинается приблизительно за год до начала очередного цикла Хейла и имеет продолжительность около полутора лет (рис. 2). Этот Хейловский «коридор», иногда выделяемый и для вулканических извержений, также принимается за «опасное» фазовое окно.

Прогнозы землетрясений для восьми регионов Тихоокеанского пояса (рис. 1*a*) представлены в табл. 1, где также приведены нижний порог магнитуд *M_{пор}* землетрясений, для которых дается прогноз, общее количество *N* землетрясений с $M \geq M_{\text{пор}}$ и другие параметры выборок, необходимые для формулировки долгосрочного прогноза и оценок его эффективности.

Распределение камчатских землетрясений на фазовой плоскости (рис. 2*a*) не является случайным, т.к. все 14 событий приурочены к небольшим по площади (18 %) выделенным «опасным» окнам. Гипотеза о случайном распределении событий отвергается с уровнем доверия более 0.99 (Большев, Смирнов, 1965). В соответствии с методом МФТ до конца текущего цикла Хейла, т.е. примерно до 2030 г., на Камчатке (рис. 2*a*) события с моментной магнитудой $M \geq 7.6$ ожидаются только в период ноябрь 2014 – июль 2017 гг. Для Курильских островов (рис. 2*b*) опасным периодом для возникновения землетрясений с $M \geq 7.5$ является август 2012 – февраль 2016 гг. Распределение сильных землетрясений на фазовой плоскости для соседних с Курило-Камчатской дугой регионов Японии и Алеутских островов показано на рис. 2*c, g*. Значения эффективности для восьми регионов Тихоокеанского пояса варьируют от 2.6 (Алеутские острова) до 5.6 (Камчатка) и приведены в табл. 1.

Таблица 1. Долгосрочный прогноз землетрясений по методу МФТ и оценка его эффективности I для отдельных регионов Тихоокеанского тектонического пояса.

№	Регион	Характеристика выборки землетрясений				Число «спрогнозированных» землетрясений, N_1	Площадь «опасных» окон, $S_{\text{опас}}$	Эффективность прогноза, $I=(N_1/N)/S_{\text{опас}}$	Сеймоопасный интервал на период до 2027 г.
		M	Период наблюдений, годы	Глубина, км	Число землетрясений, N				
I	Камчатка	$M_W \geq 7.6$	1737-2007	0-100	14	14	0.18	5.6	XI.2014 – VII.2017
II	Курильские острова	$M \geq 7.5$	1780-2007	0-100	29	27	0.33	2.8	VIII.2012 – II.2016
III	Япония	$M \geq 7.9$	1894-2007	0-100	20	17	0.29	2.9	XII.2007 – III.2010 I.2025 – 2027
IV	Алеутские острова	$M \geq 7.5$	1849-2007	0-100	26	21	0.31	2.6	XII.2012 – VII.2014 V.2021 – I.2023
V	Филиппинские острова	$M \geq 7.8$	1897-2007	0-100	17	16	0.28	3.3	I.2010 – XII.2011 X.2015 – IX.2016 IX.2026 – IV.2027
VI	о. Новая Гвинея	$M \geq 7.5$	1899-2007	0-100	17	16	0.29	3.2	XII.2011 – X.2012 VII.2020 – VII.2024
VII	о-ва Новые Гебриды	$M \geq 7.6$	1900-2007	0-100	18	15	0.24	3.5	VIII.2009 – II.2010 X.2014 – XII.2015
VIII	Южная Америка	$M \geq 7.6$	1868-2007	0-100	22	22	0.24	4.1	–

Таблица 2. Долгосрочный прогноз извержений вулканов по методу МФТ и оценка его эффективности I для отдельных регионов Тихоокеанского тектонического пояса

№	Регион	Характеристика исходных данных			Число «спрогнозированных» извержений, N_1	Площадь «опасных» окон, $S_{\text{опас}}$	Эффективность прогноза, $I = (N_1/N)/S_{\text{опас}}$	Опасные интервалы на период до 2027 г.
		VEI или $V, \text{км}^3$	Период наблюдений, годы	Количество извержений, N				
I	Камчатка	$\geq 0.10, \text{км}^3$	1854-2007	15	15	0.17	5.9	Извержения не ожидаются
II	Курильские о-ва	≥ 3	1712-1993	24	23	0.37	2.6	III.2011 – III.2014 X.2021 – IV.2024
III	Алеутские о-ва	≥ 3	1817-1993	17	17	0.33	3.0	XII.2007 – VIII.2009
IV	Филиппинские о-ва	≥ 3	1800-1993	20	17	0.32	2.7	X.2008 – XII.2009 VIII.2022 – II.2024 V.2026 – I.2027
V+VI	о. Новая Гвинея и регион VI	≥ 3	1864-1993	50	47	0.46	2.1	X.2014 – XII.2017
VI	о-ва Новые Гебриды и Соломоновы о-ва	≥ 3	1864-1993	26	25	0.27	3.6	Извержения не ожидаются
VII	Новая Зеландия - о-ва Тонга	≥ 3	1814-1993	19	18	0.27	3.5	V.2014 – XI.2016
VIII	Южная Америка	≥ 3	1802-1993	28	26	0.31	3.0	IV.2010 – XII.2012 XII.2018 – I.2023*

Примечание: * - вероятность возникновения извержения в этот период мала.

Прогнозы извержений для восьми регионов Тихоокеанского тектонического пояса (рис. 1б) представлены в табл. 2.

На рис. 3а показано, что траектория текущего цикла Хейла с рассчитанными для извержений Камчатки «опасными» фазовыми окнами не пересекается. Таким образом, в текущем цикле Хейла на Камчатке сильные извержения с $V \geq 0.3 \text{ км}^3$ не ожидаются (табл. 2). Так как статистика для более слабых событий с $V = 0.10-0.2 \text{ км}^3$ охватывает примерно последние 50 лет и невелика, вопрос о нижнем пороге прогнозируемых извержений пока остается открытым.

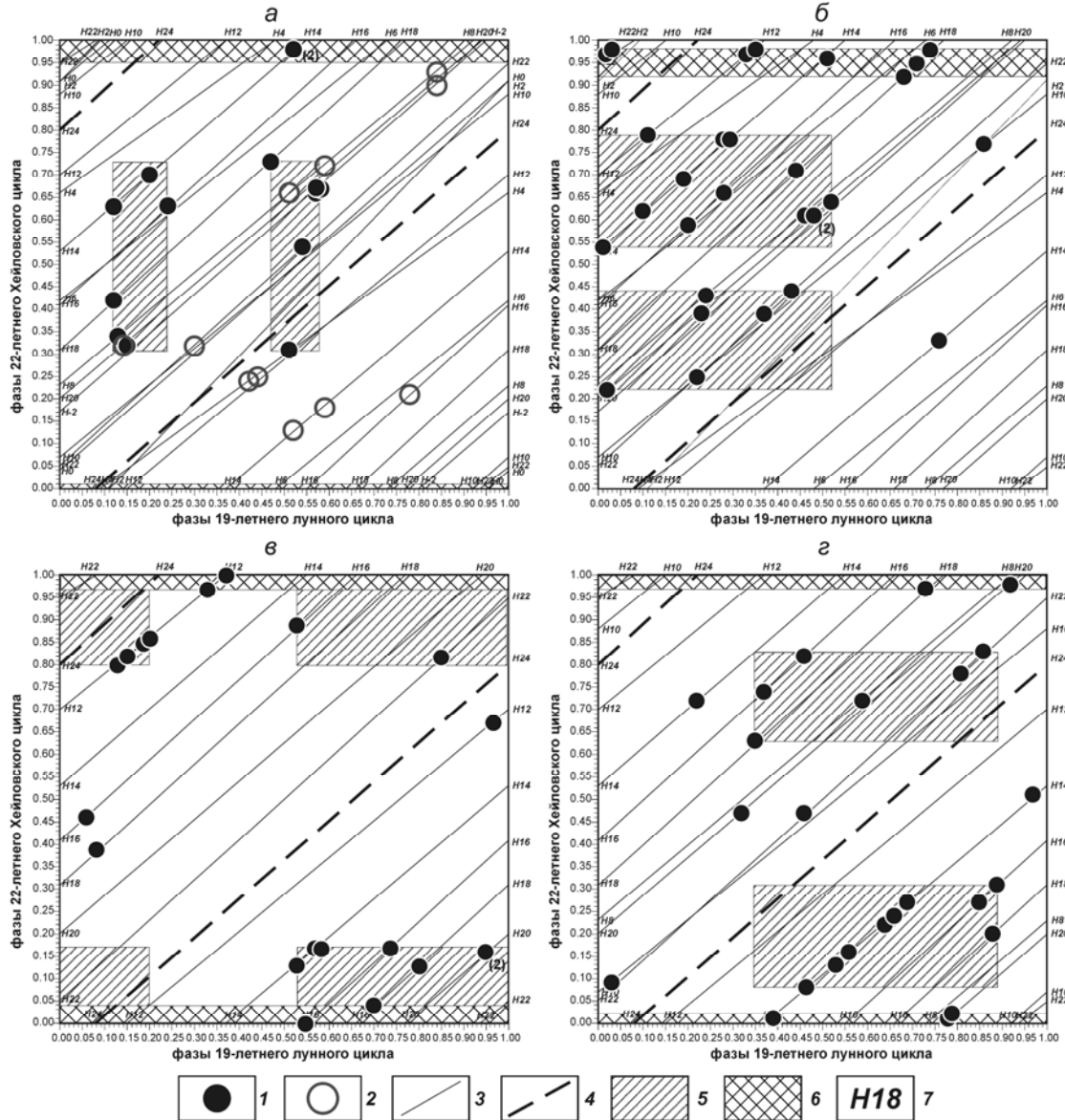


Рис. 2. Распределение землетрясений в зависимости от фаз лунного и Хейловского циклов:
 а - для Камчатки за период 1737 – 2007 гг. с $M \geq M_{\text{пор}}=7.6$ и $M_0=7.5$; б – для Курильских островов за период 1780-2007 гг. с $M \geq M_{\text{пор}}=7.5$; в – для Японии за период 1894 – 2007 гг. с $M \geq M_{\text{пор}}=7.9$; г – для Алеутских островов за период 1849 – 2007 гг. с $M \geq M_{\text{пор}}=7.5$. 1 – события с магнитудой $M \geq M_{\text{пор}}$; 2 – события с M_0 ; 3 – фазовые траектории; 4 – траектория предполагаемого Хейловского цикла $H24$; 5 – «опасные» фазовые окна, выделенные для событий с $M \geq M_{\text{пор}}$; 6 – «опасный» Хейловский «коридор»; 7 – нумерация Хейловских циклов. Пояснения в тексте.

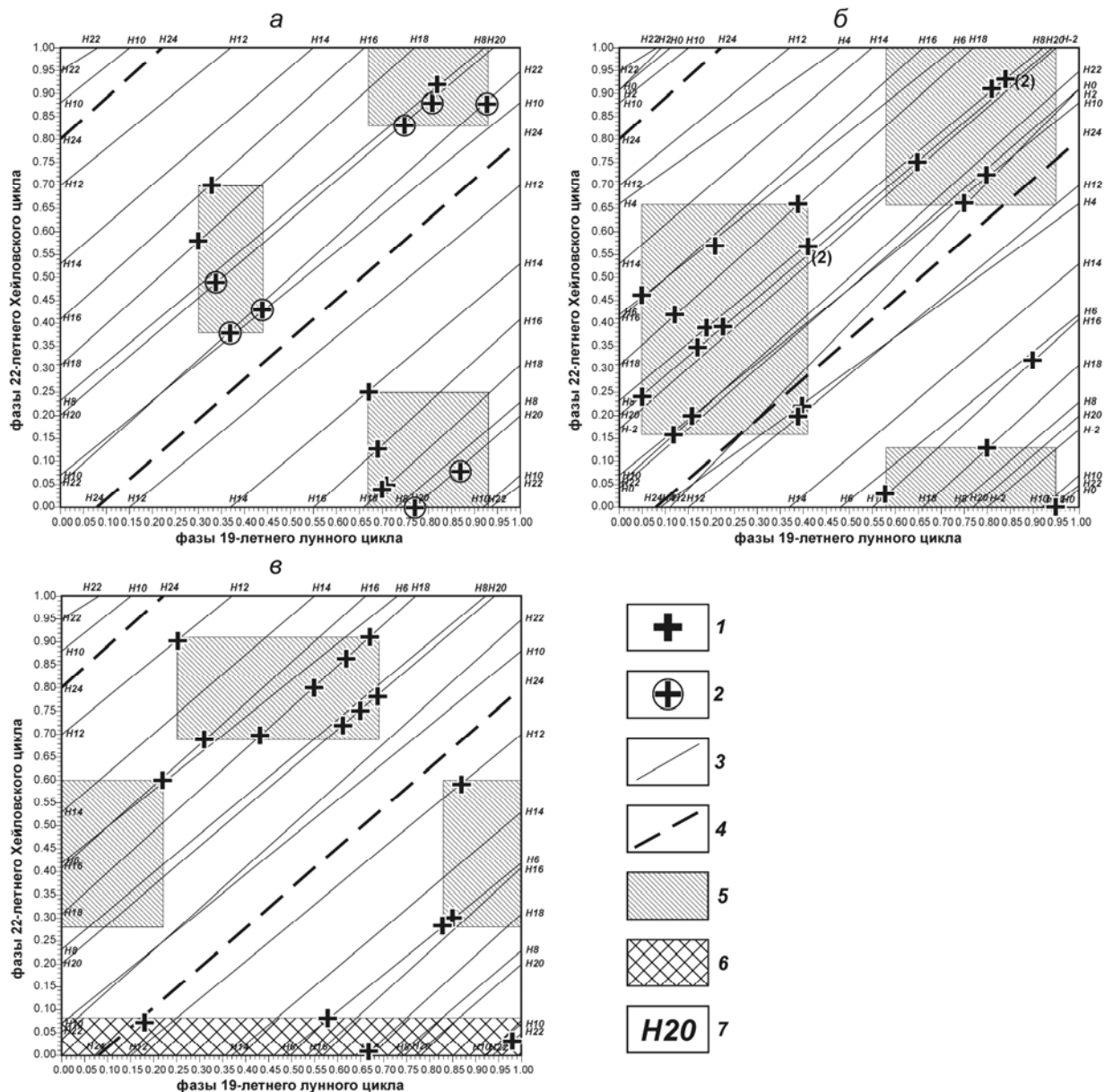


Рис. 3. Распределение дат пароксизмов вулканических извержений в зависимости от фаз лунного и Хейловского циклов: *а* - для Камчатки за период 1854 – 2007 гг.; *б* – для Курильских островов за период 1712 - 1993 гг.; *в* – для Алеутских островов за период 1817 – 1993 гг. 1 – события с объемом изверженного материала $V \geq 0.3 \text{ км}^3$ (для Камчатки до 1960 года) и $\text{VEI} \geq 3$ для остальных регионов; 2 – события с $V \geq 0.10 \text{ км}^3$ (для Камчатки с 1961 года); 3 – фазовые траектории; 4 – траектория предполагаемого Хейловского цикла $H24$; 5 – «опасные» фазовые окна; 6 – «опасный» Хейловский «коридор»; 7 – нумерация Хейловских циклов. Пояснения в тексте.

Аналогичный анализ проведен еще для семи регионов Тихоокеанского тектонического пояса (рис. 1*б*). Рассмотрим более подробно соседние с Камчаткой регионы Курильских (рис. 3*б*) и Алеутских островов (рис. 3*в*).

По данным (Simkin, Siebert, 1994) в XVIII–XX вв. на Курильских островах (рис. 1*б*, врезка *Б*) произошло 26 извержений с $\text{VEI} \geq 3$, но по данным (Гущенко, 1979) два из них охарактеризованы как слабые, поэтому они не принимались в расчет. На рис. 3*б* показано, что из 24 извержений 23 приурочены к двум «опасным» фазовым окнам, которые в текущем цикле $H24$ пересекаются дважды (табл. 2).

Для Алеутских островов (рис. 1б, врезка *B*) извержения с $VEI \geq 3$ выбраны к западу от вулкана Богослов (статистика для остальных извержений оказалась незначимой). Извержения на фазовой плоскости расположены в трех «опасных» фазовых окнах, одно из которых является Хейловским «коридором», который приурочен к эпохам минимумов Хейловских циклов (рис. 3в). Только этот «коридор» пересекается траекторией текущего цикла *H24* в период декабрь 2007–август 2009 гг. (табл. 2). В остальное время извержения с $VEI \geq 3$ маловероятны.

Для региона VI возникли затруднения при выделении кластеров, поэтому соседние регионы V и VI были объединены. По этой причине прогнозы даются отдельно для региона VI и объединенного региона.

Оценки эффективности прогнозов сильных вулканических извержений для восьми регионов Тихоокеанского пояса меняются от 2.1 до 5.9.

Существенно, что применение метода МФТ примерно в 2-4 раза повышает эффективность прогнозов времени возникновения сильных событий по сравнению с известными нам другими методами долгосрочного прогноза.

Методы долгосрочного прогноза можно использовать для оценок максимальной магнитуды землетрясений или масштаба вулканических извержений при краткосрочных прогнозах сильных событий (Широков, 1985, 2001).

О природе выявленных эффектов

В работе выделены два типа эффектов взаимосвязи сильных событий с рассматриваемыми космическими факторами. Первый, имеющий планетарное происхождение, связан с независимым от 19-летнего прилива влиянием на сейсмотектонические процессы 22-летнего солнечного ритма (Широков, Серафимова, 2006, 2007). Для вулканических извержений этот тип выражен слабо. Сейсмический отклик в Тихоокеанском поясе проявляется примерно в течение одного года до и четырех месяцев после эпох минимумов 22-летних циклов. Известно, что на самом конце ветви спада Хейловского цикла на Солнце одновременно происходят как процессы, связанные с уменьшением солнечной активности в 22-летнем цикле, так и процессы зарождения нового цикла Хейла. В этой фазе в наибольшей степени проявляется нестационарность флуктуаций относительных изменений чисел Вольфа (Витинский, 1973). Вблизи эпох минимумов активные образования на Солнце расположены ближе всего к экватору, поэтому Земля, вращающаяся вокруг Солнца в приэкваториальной зоне, становится «мишенью» для вспышек, которые чаще, чем обычно, являются геоэффективными. По времени этот период совпадает с «опасной» фазой в цикле Хейла. Можно предположить, что имеющий планетарную природу сейсмический отклик длительностью около полутора лет связан с перестройкой структуры межпланетного магнитного поля и изменением динамических параметров солнечного ветра.

Второй тип отклика имеет региональную природу, так как в каждом регионе выделенные «опасные» окна (рис. 2, 3) приурочены к разным частям фазового квадрата (Φ_1 , Φ_2). При трассировании «опасного» окна существенно повышается расчетное значение скорости (Z) сейсмотектонического движения (Ризниченко, 1985), так как более 90% землетрясений приурочены к «опасным» временным интервалам. В это время оба космических ритма действуют таким образом, что по результирующему эффекту это равносильно приложению воздействия в виде суммы и/или произведения двух факторов одного знака, направленных одновременно на увеличение Z и, как следствие, магнитуд M сейсмических событий (Ризниченко, 1985) и масштабов вулканических извержений. И, наоборот, вне «опасных» периодов результирующее воздействие приводит к уменьшению Z , M , V и VEI . В определенном смысле хорошей аналогией является ситуация, описанная в известной басне И.А.Крылова о лебеде, раке и щуке, которые могут сдвинуть повозку, если потянут ее в одном направлении.

Выводы

1. Впервые на основе метода фазовых траекторий дан прогноз сильных вулканических извержений и уточнен прогноз землетрясений для отдельных регионов Тихоокеанского пояса до 2027 г.

2. Сделаны ретроспективные оценки эффективности долгосрочных прогнозов для каждого из 16 исследуемых регионов. Применение метода МФТ примерно в 2-4 раза повышает эффективность прогнозов времени возникновения сильных событий по сравнению с известными нам другими методами долгосрочного прогноза.

Авторы выражают благодарность д.г.-м.н. И.В. Мелекесцеву за содействие при проведении работы и полезные советы.

Список литературы

Абдурахманов А.И., Фирстов П.П., Широков В.А. Возможная связь вулканических извержений с цикличностью солнечной активности // XV Генеральная ассамблея МГСС. Тезисы докл. Симпозиум: Вулканизм и землетрясения верхней мантии. М.: Наука, 1971. С.3-4.

Абдурахманов А.А., Фирстов П.П., Широков В.А. Возможная связь вулканических извержений с 11-летней цикличностью солнечной активности // Бюлл. вулканол. станций. 1976. № 52. С. 3-10.

Большев Л.Н., Смирнов Н.В. Таблицы математической статистики. М.: Наука, 1965. 464 с.

Витинский Ю.И. Цикличность и прогнозы солнечной активности. Л.: Наука, 1973. 257 с.

Гусев А.А. Прогноз землетрясений по статистике сейсмичности // Сейсмичность и сейсмический прогноз, свойства верхней мантии и их связь с вулканизмом на Камчатке. Новосибирск: Наука, 1974. С. 109-119.

Гусев А.А., Петухин А.Г. О возможной синхронизации сильных землетрясений лунным 18.6-летним циклом, его долями и кратными // Вулканология и сейсмология. 1997. № 3. С. 64-79.

Гусев А.А., Шумилина Л.С. Повторяемость сильных землетрясений Камчатки в шкале моментных магнитуд // Физика Земли. 2004. № 3. С. 34-42.

Гущенко И.И. Извержения вулканов мира. М.: Наука, 1979. 475 с.

Кропоткин П.Н. Возможная роль космических факторов в геотектонике // Геотектоника. 1970. № 2. С. 30-76.

Ламакин В.В. О периодичности байкальских землетрясений // ДАН СССР. 1966. Т. 170. № 2. С. 210-213.

Ризниченко Ю.В. Избранные труды. Проблемы сейсмологии. М.: Наука, 1985. 408 с.

Серафимова Ю.К. О связи сильных ($M_w \geq 7.5$) землетрясений Камчатки с солнечной активностью // Геофизический мониторинг Камчатки. Материалы научно-технической конференции 17-18 января 2006 г., г. Петропавловск-Камчатский. Петропавловск-Камчатский: «Оттиск», 2006. С. 171-177.

Сытинский А.Д. О зависимости глобальной и региональной сейсмичности Земли от фазы 11-летнего цикла солнечной активности // ДАН СССР. 1982. Т. 265. № 6. С. 1350-1353.

Сытинский А.Д. О связи землетрясений с солнечной активностью // Физика Земли. 1989. № 2. С. 13-30.

Федотов С.А., Жаринов Н.А. Об извержениях, деформациях, сейсмичности Ключевского вулкана (Камчатка) в 1986-2005 гг. и механизме его деятельности // Вулканология и сейсмология. 2007. № 2. С. 3-31.

Широков В.А. Космос и вулканы // Человек и стихия. Л.: Гидрометеоиздат, 1973. С. 26-28.

Широков В.А. Влияние космических факторов на геодинамическую обстановку и ее долгосрочный прогноз для северо-западного участка Тихоокеанской тектонической зоны // Вулканизм и геодинамика / Отв. ред. Г.П. Авдейко, С.А. Федотов. М.: Наука, 1977. С. 103-115.

Широков В.А. Некоторые вопросы методики комплексного прогноза побочных извержений вулкана Ключевского (Камчатка) // Вулканология и сейсмология. 1985. № 6. С. 48-58.

Широков В.А. Опыт краткосрочного прогноза времени, места и силы камчатских землетрясений 1996-2000 гг. с магнитудой $M = 6-7.8$ по комплексу сейсмологических данных // Геодинамика и вулканизм Курило-Камчатской островодужной системы / Отв. ред. Б.В. Иванов. Петропавловск-Камчатский: ИВГиГ ДВО РАН, 2001. С. 95-116.

Широков В.А. Влияние общепланетарных факторов на возникновение сильных вулканических извержений Земли и проблема их долгосрочного прогноза // Материалы ежегодной конференции, посвященной Дню вулканолога, 27-29 марта 2008 г., г. Петропавловск-Камчатский. Петропавловск-Камчатский: ИВиС ДВО РАН, 2008. С. 305-314.

Широков В.А., Серафимова Ю.К. О связи 19-летнего лунного и 22-летнего солнечного циклов с сильными землетрясениями и долгосрочный сейсмический прогноз для северо-западной части Тихоокеанского тектонического пояса // Вестник КРАУНЦ. Науки о Земле. 2006. № 2. Вып. № 8. С. 120-133.

Широков В.А., Серафимова Ю.К. Методика прогноза сильных землетрясений с магнитудой $M \geq 7.6$ и оценка ее эффективности для различных регионов Земли // Солнечно-земные связи и предвестники землетрясений: IV междунар. конф., с. Паратунка Камч. обл., 14-17 августа 2007 г. Сборник докладов. Петропавловск-Камчатский: ИКИР ДВО РАН, 2007. С. 482-489.

Hamilton W.L. Tidal Cycles of Volcanic Eruptions: Fortnightly to 19 Yearly Periods // JGR. 1973. V. 78. № 17. P. 3356-3362.

Simkin T., Siebert L. Volcanoes of the World. Smithsonian Institution, Global Volcanism Program. Geoscience Press. Tucson. Arizona, 1994. 349 p.

СОДЕРЖАНИЕ

Всероссийская научная конференция «100-летие Камчатской экспедиции Русского географического общества». Петропавловск-Камчатский, 22 – 27 сентября 2008 г....	3
Зайцева Н.А., Котляков В.М. Столетний юбилей Камчатской экспедиции Русского географического общества (экспедиции Рябушинского, 1908-1910 гг.).....	7
Журавлев Ю.Н. Зоологический аспект экспедиции Ф.П. Рябушинского: посевы и всходы.....	14
Добрецов Н.Л. Геодинамические проблемы и моделирование зон субдукции.....	24
Ларин В.Л., Тураев В.А. Этнокультурное пространство тихоокеанской России: триста лет эволюции.....	34
Воронов Б.А., Махинов А.Н. Современное состояние водных ресурсов Дальнего Востока и их антропогенное преобразование	40
Гаращенко Ю.А. Природные ресурсы Камчатского края и их роль в социально-экономическом развитии региона	49
Сущева М.В. Интеграция вузовской и академической науки на Камчатке.....	58
Викулин А.В., Акманова Д.Р., Афанасенко С.И., Иванчин Г.А., Осипова Н.А., Фадин В.В. Новый тип упругих волн в геофизических средах.....	67
Викулин А.В., Викулина С.А. Экспедиция Рябушинского и становление сейсмологии и демократии на Камчатке.....	76
Гавриленко Г.М., Мельников Д.В., Овсянников А.А. Современное состояние термального озера в активном кратере вулкана Горелый (Камчатка).....	86
Герасимов Ю.Н., Герасимов Н.Н. Исследования миграций птиц Камчатки.....	96
Двигало В.Н., Свирид И.Ю., Шевченко А.В. Возрождение коллекции фото и фототеодолитных снимков геологического отдела Камчатской экспедиции Ф. П. Рябушинского 1908-1910 г.г.....	103
Иванов В.В. Оценка эффективности и планирование сейсмологической сети для изучения вулканического дрожания на камчатских вулканах для исследования их магматической, вулканической активности и прогноза извержений.....	109
Ившин В.М., Ившина Е.В. Геомеханический способ прогноза цунами в зоне островных дуг.....	116
Калачева Е.Г., Кузьмина А.А. Верхне-Щапинские термальные источники: условия формирования и химический состав	124
Карданова О.Ф. Некоторые особенности образования протобокситового вещества на термальных полях Кихпинского долгоживущего вулканического центра, Камчатка.....	130
Кирюхин А.В. Исследования тепломассопереноса в высокотемпературных гидротермальных системах	140
Колосков А.В. Особенности проявления позднекайнозойского магmatизма на Восточно-Азиатской окраине в рамках концепции «вихревой геодинамики»	150

Копылова Г.Н. Гидрогеологический метод поиска предвестников землетрясений на Камчатке.....	159
Кугаенко Ю.А., Салтыков В.А. Первые шаги к организации сейсмического мониторинга Долины Гейзеров.....	168
Леликов Е.П., Емельянова Т.А. Геология подводного хребта Витязя на тихоокеанском склоне Курильской островной дуги.....	177
Лупикина Е.Г. Биоценозы и тафоценозы диатомовых водорослей Карымского озера (Камчатка) в посткатастрофический период (1996-2008 гг.).....	186
Манухин Ю.Ф., Петров М.А. Ресурсная база санаторно-курортного строительства в Камчатском крае.....	190
Рашидов В.А. История изучения подводных вулканов Курильской островной дуги..	199
Руленко О.П. Новый подход в обнаружении оперативного предвестника землетрясений в электричестве приземной атмосферы.....	211
Самкова Т.Ю. Закономерности связи между интенсивностью современного гидротермального процесса, морфологическим строением почв и структурой растительного покрова (на примере термальных полей Паужетской гидротермальной системы).....	216
Сметанин А.Н. Пяденицы (Geometridae, Lepidoptera) Камчатки по материалам исследований Первой Камчатской экспедиции 1908-1910 гг.....	223
Смирнов С.Э., Назарец В.П. 40 лет магнитных обсерваторских наблюдений на Камчатке.....	226
Сторчеус А.В. К вопросу о механизме вулканических взрывов.....	230
Хаткевич Ю. М., Кузьмин Ю. Д., Рябинин Г. В. Современное состояние гидрогеохимических наблюдений на Камчатке, проводящихся с целью изучения реакции подземных водно-газовых систем на геофизические воздействия.....	237
Широков В.А. Разработка моделей подготовки сильных землетрясений и вулканических извержений на основе изучения их связи с космическими ритмами...	241
Широков В.А., Серафимова Ю.К. Прогноз сильных землетрясений и вулканических извержений для отдельных регионов Тихоокеанского тектонического пояса на ближайшие 20 лет.....	254
Содержание	265